

ترابری الکترونی در اتصالات تایولی مولکولهای خانواده اسن

پیله ور شهری، راحله؛ شاه طهماسبی، ناصر

گروه فیزیک، دانشکده علوم پایه، دانشگاه فردوسی، مشهد

چکیده

در این پژوهش خواص ترابری مولکولهای متعلق به سری اسن هارا با استفاده از نظریه تابع چگالی به همراه دستاورد تابع گرین غیر تعادلی برای ترابرد الکترونی بررسی می‌کنیم. ضرب ب انتقال در بایاس صفر و منحنی جریان-ولتاژ برای مولکولهای n -acene (از بنزن (1-حلقه ای) تا هپتاسین (7-حلقه ای)) برای دو پیکربندی متفاوت محاسبه می‌شود. نشان داده می‌شود که گاف HOMO-LUMO با افزایش طول مولکول کاهش می‌یابد. محاسبات ترابری ما نشان می‌دهد که هندسه اتصال مولکول به الکترودها نقش مهمی در میزان هدایت یک اتصال دارد. همچنین در پیکربندی ترانس، هدایت در بایاس کم به صورت نمایی با افزایش طول کاهش می‌یابد، در حالیکه در پیکربندی سیسیس، هدایت با تغییر طول به صورت نامنظم نوسان می‌کند.

Calculations of the electronic transport in thiol-linked junctions of n-acene molecules

Pilevarshahri, Raheleh; Shahtahmasebi, Nasser

Department of Physics, Ferdowsi University of Mashhad, Mashhad

Abstract

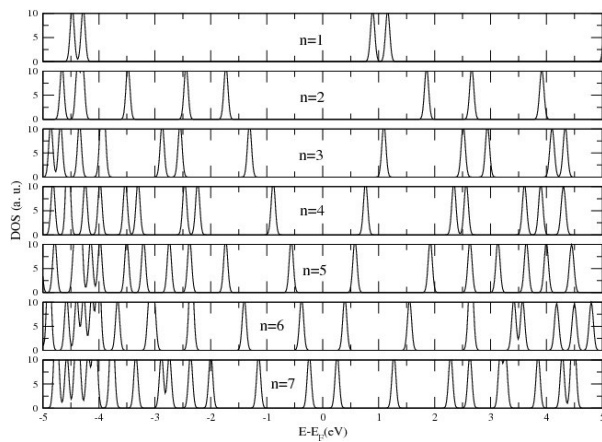
We investigate the transport properties of molecules belonging to the acenes series by using density functional theory combined with the non-equilibrium Green's function approach to electronic transport. We calculate transmission coefficient and IV curve for n -acene molecules ranging from benzene ($n=1$) to heptacene($n=7$) for two different anchoring configurations. It is shown that the HOMO-LUMO gap is reduced when the molecule becomes longer. Our transport calculations show that the anchoring geometry of the molecule to the leads has an important effect on the conductance in a junction. The conductance in low bias decreases exponentially with length in trans configuration, whereas it oscillates irregularly with length in cis configuration.

PACS No. 72, 73, 81

پتانسین ($n=5$) مواد نیمه‌هادی هستند که در ترانزیستورهای آلی اثر میدان [7,2]. دیودهای الینور گسلی [8 و 9] و سلولهای فتوولتایی آلی [10] به دلیل تحرک بالای حاملهای بار مورد استفاده قرار می‌گیرند. به عنوان مثال برای تک بلورهای پتانسین تحرک $A = 35 \text{ cm}^2 \text{ V}^{-1} \text{ s}^{-1}$ گزارش شده است [3] که در مقایسه با نیمه هادی های آلی دیگر بالاترین تحرک را دارا می باشد. اسن های بزرگتر در مجاورت نور و هوا بسیار ناپایدار هستند. هدف این پژوهش بررسی هدایت الکتریکی این مولکولها است که توسط گروه تایول با دو هندسه متفاوت به طلا متصل شده اند.

مقدمه

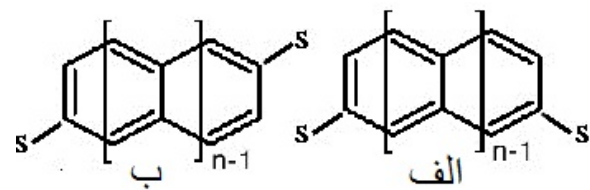
مولکولهای خانواده اسن ها، $C_{4n+2}H_{2n+4}$ دسته مهمی از ترکیبات آلی هستند که در گروه هیدروکربنهای معطر چند حلقه ای قرار گرفته اند و شامل حلقه های بنزن خطی می‌باشند. این مولکولها می‌توانند به عنوان نانونوارهای کوچک گرافن متنه به هیدروژن نیز در نظر گرفته شوند. بررسی خواص الکترونیکی این مولکولها در چند سال اخیر بسیار مورد توجه قرار گرفته است [1-6]. کوچکترین اسن ها با عنوان بنزن ($n=1$) و نفتالین ($n=2$) کاملاً شناخته شده هستند. تتراسین ($n=4$) و



شکل ۲: چگالی حالات الکترونی مولکولهای n-acene از بنزن (n=1) تا هپتا辛 (n=7)

باید توجه شود که محدودیتهای تابعی تبادل-همبستگی LDA گاف HOMO-LUMO محاسبه شده را کمتر از مقدار تجربی نشان می دهد. به عنوان مثال گاف تجربی پتانسین در فاز گازی $5/54\text{eV}$ [18] می باشد در حالیکه محاسبات ما مقداری معادل $1/2\text{eV}$ گزارش می دهد. با این وجود از ویژه مقادیر کوهن-شمدر محاسبه ترا بری با تابع گرین غیر تعادلی به عنوان ترازهای تک ذره استفاده می شود، چرا که وقتی مولکول به یک سطح فلزی متصل می شود، پتانسیل یونش (IP) معمولاً به دلیل اثرات همبستگی کاهش میابد. مثلاً در مورد لایه های نازک HOMO-پتانسین روی سطح طلا داده های تجربی [19] گاف HOMO-LUMO را $2/2\text{eV}$ می دهد.

پس از محاسبه ساختار الکترونی مولکولهای منفرد n-acenes با طولهای متفاوت از یک حلقه (بنزن) تا هفت حلقه (هپتا辛) را مورد بررسی قرار می دهیم. علت انتخاب این محدوده این است که گزارش شده است مولکولهای اسن بزرگ دارای حالت پایه آنتی فرو مغناطیس می باشند [16، 17] که نیاز به محاسبات پلاریزه اسپینی دارد و به آینده موکول می شود. چگالی حالات الکترونی این مولکولها در شکل ۲ نشان داده شده است. از شکل پیداست که وقتی تعداد حلقه های بنزن افزایش میابد گاف HOMO-LUMO کاهش میابد. بنابراین اگر جواب غیر مغناطیسی برای اسنها بزرگ داشته باشیم، انتظار بسته شدن گاف را خواهیم داشت.



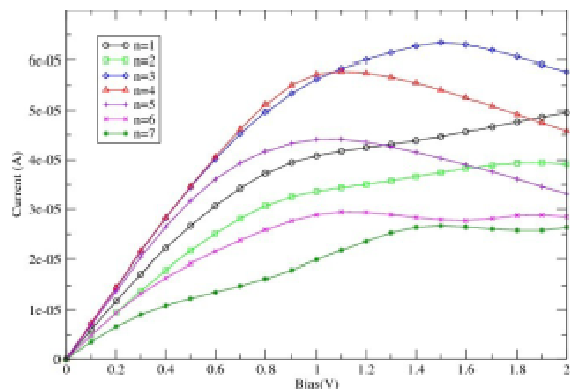
شکل ۱: توصیف شماتیک اتصال سری Au به n-acene توسط گروههای تایول با دو هندسه متفاوت: (الف) سیس ب) ترانس

روش محاسبه

خواص ترابری توسط کد SMEAGOL [13-11] که بر پایه SIESTA تابع گرین غیر تعادلی است و از هامیلتونی کوهن شم استفاده می کند، بدست می آید. در این کار از تابعی تبادل-همبستگی LDA [15] استفاده شده است. پایه تک گانه زتا برای الکترونهای ظرفیت مولکول و پایه تک گانه زتا برای الکترونهای S الکترودهای طلا در نظر گرفته می شود. برای توصیف چگالی الکترونی، یک شبکه فضایی حقیقی با انرژی قطع 3.0Ry استفاده شده است. مولکولهای خانواده اسن از طریق گروههای گوگرد با طول پیوند $S-\text{Au}$, $1/9$ آنگستروم [14] به سطح (111) fcc طلا اتصال میابد.

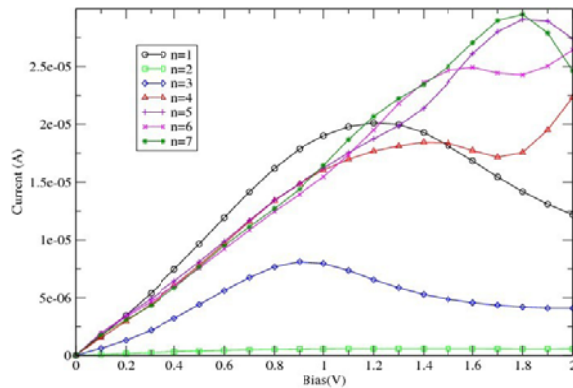
نتایج

در این پژوهش ابتداً ما ساختار الکترونیکی مولکولهای منفرد n-acenes با طولهای متفاوت از یک حلقه (بنزن) تا هفت حلقه (هپتا辛) را مورد بررسی قرار می دهیم. علت انتخاب این محدوده این است که گزارش شده است مولکولهای اسن بزرگ دارای حالت پایه آنتی فرو مغناطیس می باشند [16، 17] که نیاز به محاسبات پلاریزه اسپینی دارد و به آینده موکول می شود. چگالی حالات الکترونی این مولکولها در شکل ۲ نشان داده شده است. از شکل پیداست که وقتی تعداد حلقه های بنزن افزایش میابد گاف HOMO-LUMO کاهش میابد. بنابراین اگر جواب غیر مغناطیسی برای اسنها بزرگ داشته باشیم، انتظار بسته شدن گاف را خواهیم داشت.



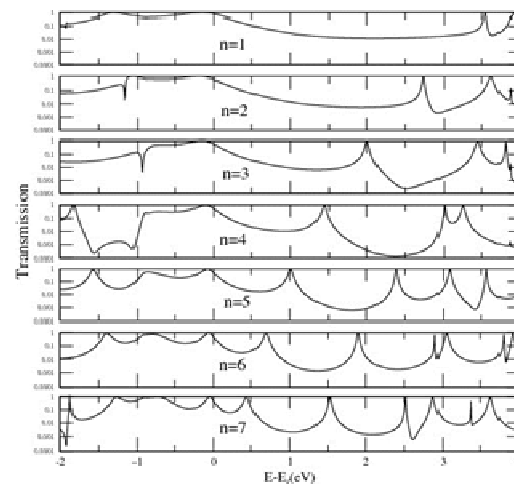
شکل ۵: منحنی جریان-ولتاژ برای مولکولهای n-acene از بنزن (n=1) تا هپتا辛 (n=7) در پیکربندیترانس

در شکل‌های ۵ و ۶ نمودارهای جریان بر حسب ولتاژ اعمال شده به الکترودها محاسبه شده است. مشاهده می‌شود که نمودار جریان-ولتاژ مربوط به هر مولکول، یک نمودار اهمی نیست و به ازای ولتاژ‌های خاصی مقاومت دیفرانسیلی منفی داریم.



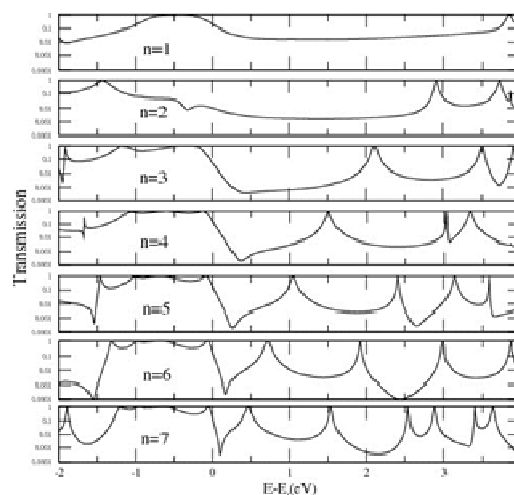
شکل ۶: منحنی جریان-ولتاژ برای مولکولهای n-acene از بنزن (n=1) تا هپتا辛 (n=7) در پیکربندیسیس

میزان جریان در بعضی مولکولهای بلندتر بیشتر از مولکولهای کوچکتر می‌باشد. از یک طرف بر طبق قانون هدایت نمایی [20] انتظار می‌رود با افزایش طول سیم مولکولی Magoga احتمال تونل زنی الکترون کاهش یافته و در نتیجه هدایت الکتریکی کم شود و از طرف دیگر همان طور که در نمودارهای چگالی حالات الکترونی مولکولها دیده می‌شود، به علت کاهش



شکل ۳: ضریب انتقال در بایاس صفر برای مولکولهای n-acene از بنزن (n=1) تا هپتا辛 (n=7) در پیکربندیترانس

ضریب انتقال در بایاس صفر برای طولهای متفاوت مولکول در شکل ۳ و ۴ به ترتیب برای پیکربندیترانس و سیس رسم شده است. در این شکلها دیده می‌شود که طرح کلی ضریب انتقال از لحاظ محل قله‌ها بسیار شبیه نمودارهای مربوط به چگالی حالات الکترونی مولکول می‌باشد. همچنین واضح است که وابستگی ضریب انتقال به انرژی،تابع همواری نیست و قله‌های تشیدیدی در آن دیده می‌شود.



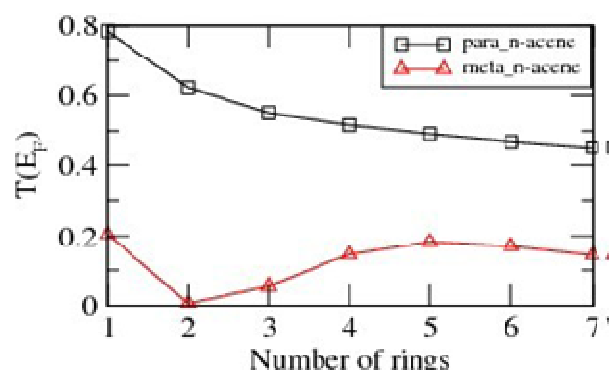
شکل ۴: ضریب انتقال در بایاس صفر برای مولکولهای n-acene از بنزن (n=1) تا هپتا辛 (n=7) در پیکربندیسیس

گوگرد در دو هندسه متفاوت سیس و ترانس انجام می‌شود. بر طبق نتایج حاصل برای مولکولهای اسن از ۱ تا ۷ حلقه هرچه طول مولکول زیادتر می‌شود گاف HOMO-LUMO کوچک‌تر شده است به گونه‌ای که در بازه مورد بررسی هپتا‌سین با هفت حلقه کوچک‌ترین گاف را دارد. همچنین ضریب انتقال در بایاس صفر و نمودار جریان بر حسب ولتاژ برای این مولکولها با استفاده از کد SMEAGOL بر پایه تابع گرین غیر تعادلی و نظریه تابع چگالی محاسبه می‌شود. از نتایج دیده می‌شود که اولاً هدایت به چگونگی اتصال مولکولها به الکترود وابسته است به طوری که هدایت در اتصال ترانس بیشتر از اتصال سیس می‌باشد. رابطه جریان-ولتاژ یک رابطه اهمی نیست و در بعضی ولتاژها مقاومت دیفرانسیل منفی دیده می‌شود. هدایت مولکول در حالت ترانس در ولتاژ کم با افزایش طول مولکول به صورت نمایی افت می‌کند، در حالیکه در حالت سیس تغییرات نامنظم دیده می‌شود.

مرجع‌ها

- [1] E. Clar, *Polycyclic Hydrocarbons*, Vol 1, Academic Press, London, 1964.
- [2] J. Anthony, *Angew. Chem. Int. Ed.* **47**, 452 (2008).
- [3] O.D. Jurchescu, J. Baas and T.T.M. Palstra, *Appl. Phys. Lett.* **84**, 3061 (2004).
- [4] H. Yanagisawa, T. Tamaki, M. Nakamura and K. Kudo, *Thin Solid Films*, **398**, 464 (2004).
- [5] A. El Amrani, B. Lucas and A. Moliton, *Eur. Phys. J. Appl. Phys.* **41**, 19 (2008).
- [6] L. Diao, C.D. Frisbiea, D.D. Schroepfer and P.P. Ruden, *J. Appl. Phys.* **101**, 014510 (2007).
- [7] S.K. Park, T.N. Jackson, J.E. Antony and D.A. Mourey, *Appl. Phys. Lett.* **91**, 063514 (2007).
- [8] B.B. Jang, S.H. Lee and Z.H. Kafafi, *Chem. Mater.* **18**, 499 (2006).
- [9] M.A. Wolak, B.B. Jang, L.C. Palilis and Z.H. Kafafi, *J. Phys. Chem. B* **108**, 5492 (2004).
- [10] B.P. Rand, J. Genoe, P. Heremans and J.S. Poortmans, *J. Prog. Photovoltaics* **15**, 659 (2007).
- [11] A.R. Rocha, V.M. Garcia-Suarez, S.W. Bailey, C.J. Lambert, J. Ferrer and S. Sanvito, *Nature Mater.* **4**, 335 (2005).
- [12] A.R. Rocha, V.M. Garcia-Suarez, S.W. Bailey, C.J. Lambert, J. Ferrer and S. Sanvito, *Phys. Rev. B* **73**, 085414 (2006).
- [13] I. Rungger and S. Sanvito, *Phys. Rev. B* **78**, 035407 (2008).
- [14] C. Toher, I. Rungger and S. Sanvito, *Phys. Rev. B* **79**, 205427 (2009).
- [15] J.P. Perdew and A. Zunger, *Phys. Rev. B* **23**, 5075 (1981).
- [16] Hachmann J, Dorando J J, Aviles M and Chan G K, *J. Chem. Phys.* **127**, 134309 (2007)
- [17] Jiang D and Dai S, *J. Phys. Chem. A* **112**, 332 (2008)
- [18] M. Yu. Dolomaton and G.R. Mukaeva, *J. Appl. Spectroscopy* **53**, 1286 (1991).
- [19] N. Koch, A. Kahn, J. Ghijsen, J.-J. Pireaux, J. Schwartz, R.L. Johnson and A. Elschner, *Appl. Phys. Lett.* **82**, 70 (2003).
- [20] M. Magoga and C. Joachim, *Phys. Rev. B* **56**, 4722 (1997).

گاف انرژی با افزایش طول مولکول، انتظار افزایش هدایت را داریم. از آنجا که این دو عامل در تقابل با یکدیگر هستند رابطه جریان با طول مولکول در یک ولتاژ معین، یک رابطه کاهشی یا افزایشی نیست و حالت نوسانی دارد. همچنین می‌توانیم جریان را در دو اتصال متفاوت مولکول به طلا، ترانس و سیس مقایسه کنیم. از شکلهای ۵ و ۶ مشخص است که در اتصال ترانس در مقایسه با سیس می‌توان به جریان‌های بالاتری دست یافت. برای مقایسه بهتر هدایت در دو حالت سیس و ترانس، ضریب انتقال بایاس صفر در انرژی فرمی، برای دو حالت ترانس و سیس در شکل ۷ رسم شده است. دیده می‌شود در کمترین حالت این ضریب در حالت ترانس بیشتر از دو برابر حالت سیس می‌باشد که نشان می‌دهد نوع اتصال مولکول به الکترود بسیار با اهمیت است. در این شکل همچنین اثر افزایش طول مولکول روی $T(E_F)$ در دو پیکربندی ترانس و سیس قابل بررسی است. در حالت ترانس با افزایش طول مولکول، افت نمایی هدایت در بایاس صفر دیده می‌شود ولی در حالت سیس تغییرات منظمی مشاهده نمی‌شود.



شکل ۷: هدایت در بایاس کم برای مولکولهای n-acene به صورت تابعی از تعداد حلقه‌های بنزن برای دو پیکربندی ترانس و سیس

نتیجه گیری

در این پژوهش ما ساختار الکترونیکی و خواص تراابری دسته مهمی از ترکیبات آلی، مولکولهای n-acene بین الکترودهای طلا را مورد بررسی قرار می‌دهیم. اتصال مولکول به طلا از طریق